



Caratterizzazione chimica ed isotopica delle deposizioni atmosferiche di azoto in un sito remoto ad alta quota (2900 m s.l.m.) nelle Alpi Occidentali.



Balestrini Raffaella, Carlo Delconte

Water Research institute IRSA- CNR, Brugherio (MB), Italy



Henri Diémoz

ARPA Valle d'Aosta, Saint-Christophe, Italy



Michele Freppaz

Department of Agriculture, Forest and Food Sciences, University of Turin



Ioannis Matiatos

Hellenic Centre for Marine Research, Institute of Marine Biological Resources and Inland Waters, Athens



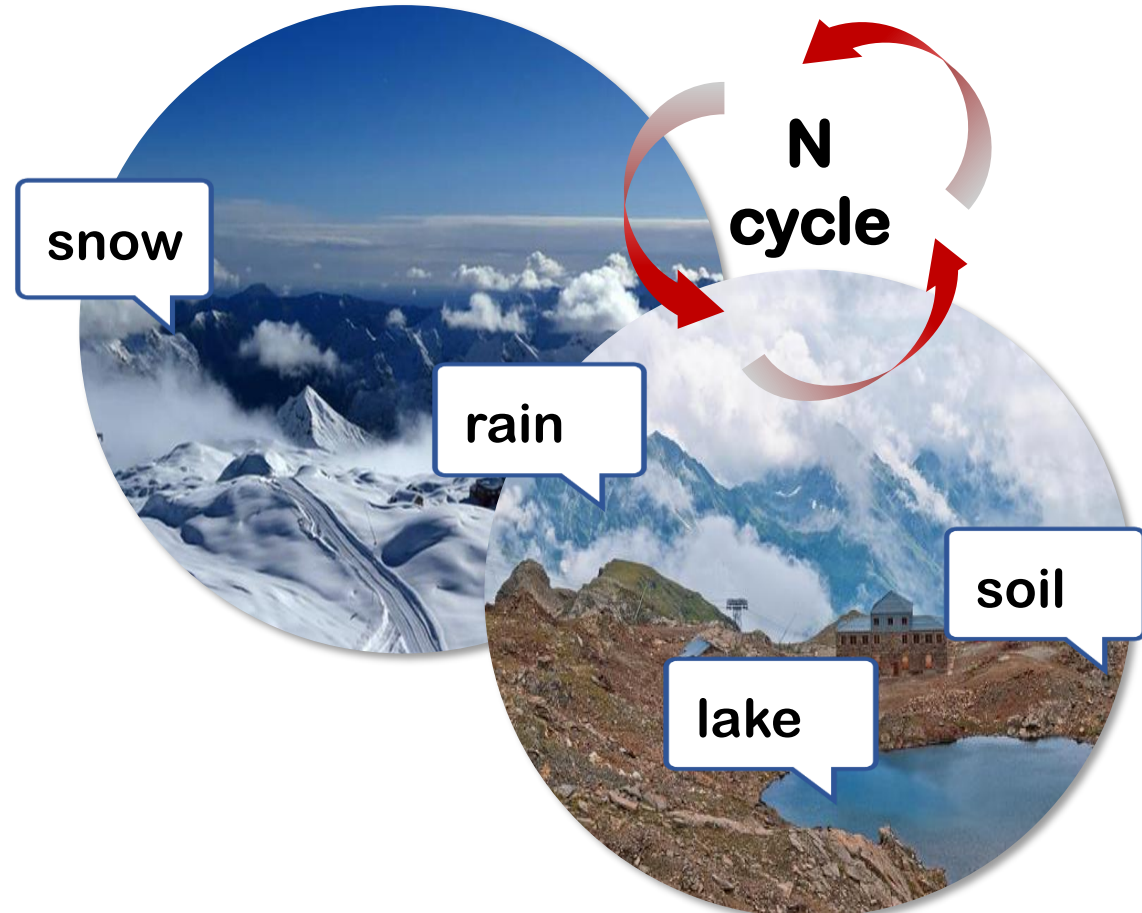
F32008 ‘Global Monitoring
of Nitrogen Isotopes
in Atmospheric Waters’

Objectives

- To integrate the role of **atmospheric deposition** in the long-term monitoring of **N cycle** in a LTER research area.
- to describe the seasonal variations of N concentrations and loads in **snow and rain**.
- To combine **N-isotopes** with deposition chemistry and hydrometeorological techniques to better understand the processes and the **sources** of inorganic N loads



Scientific Institute
Angelo Mosso





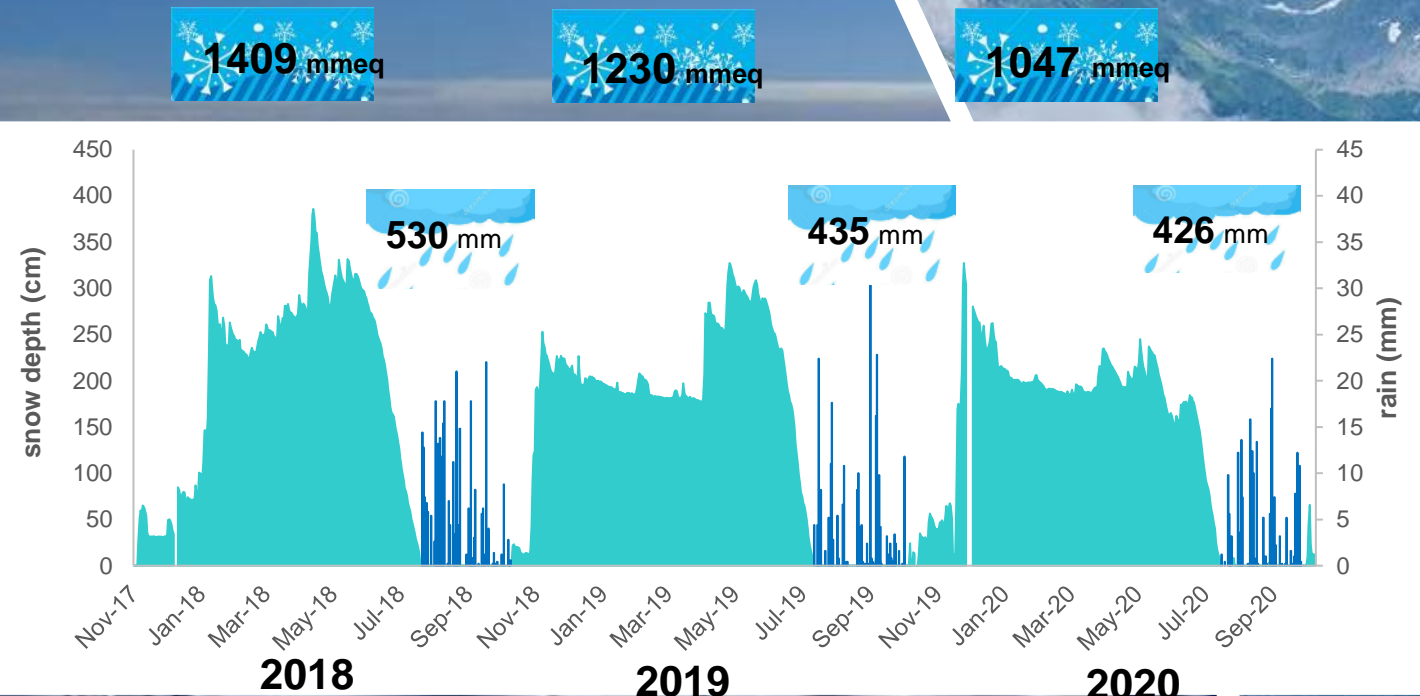
Scientific Institute
“Angelo Mosso”
2900 m asl



Study area

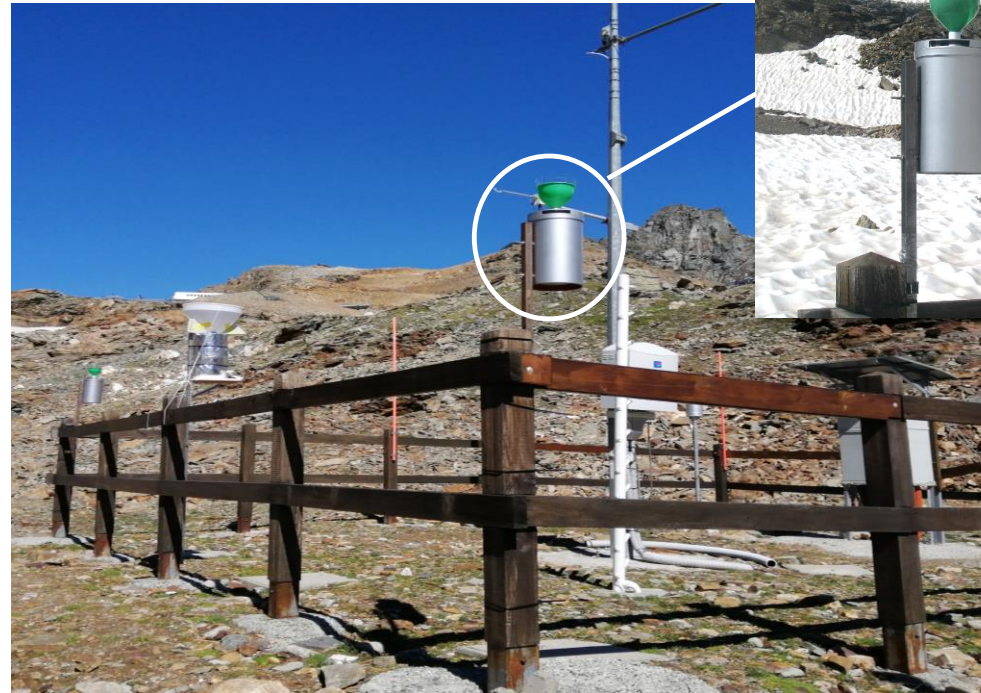
July - October

November - June



Rain and snow sampling

Methods



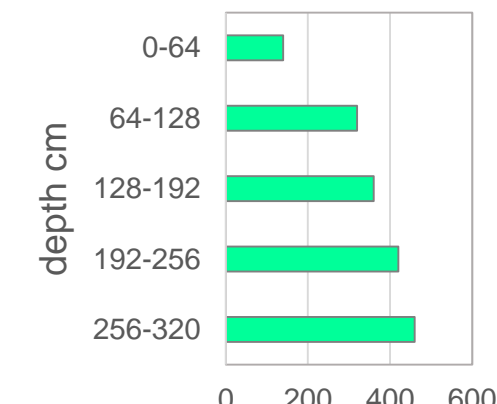
Weekly sampling

2018	2019	2020
10 17Jul – 5 Oct	12 8Jul – 1 Oct	10 17Jul – 28 Sep



Yearly sampling

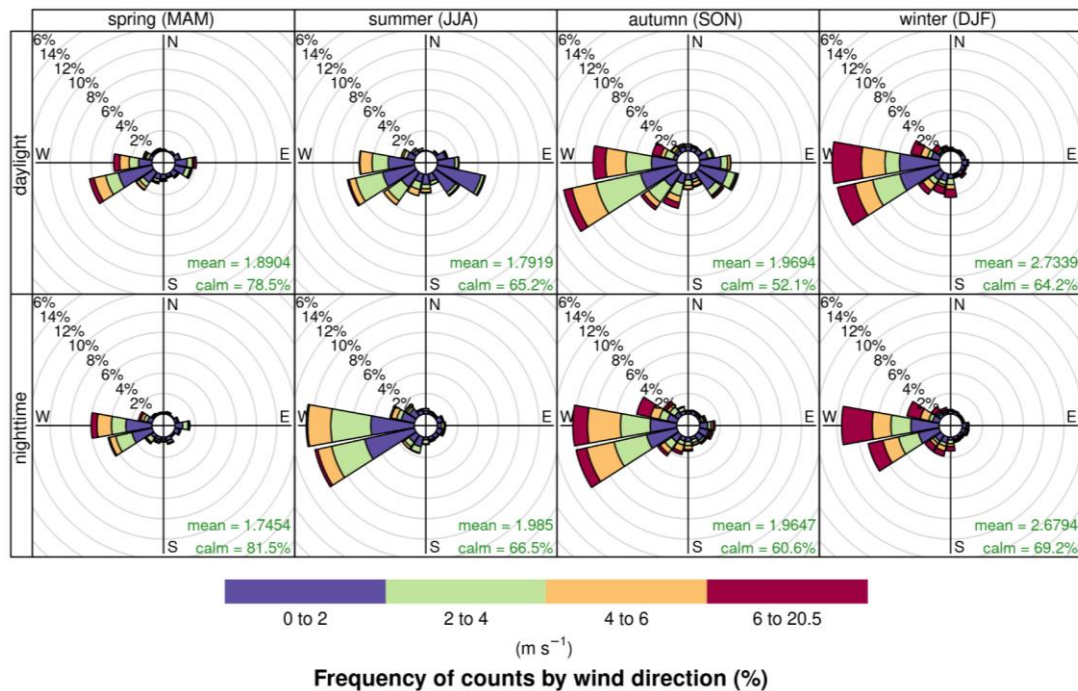
density kg m⁻³



Ex.
5/4/2019
5 samples

Results

Wind speed and direction

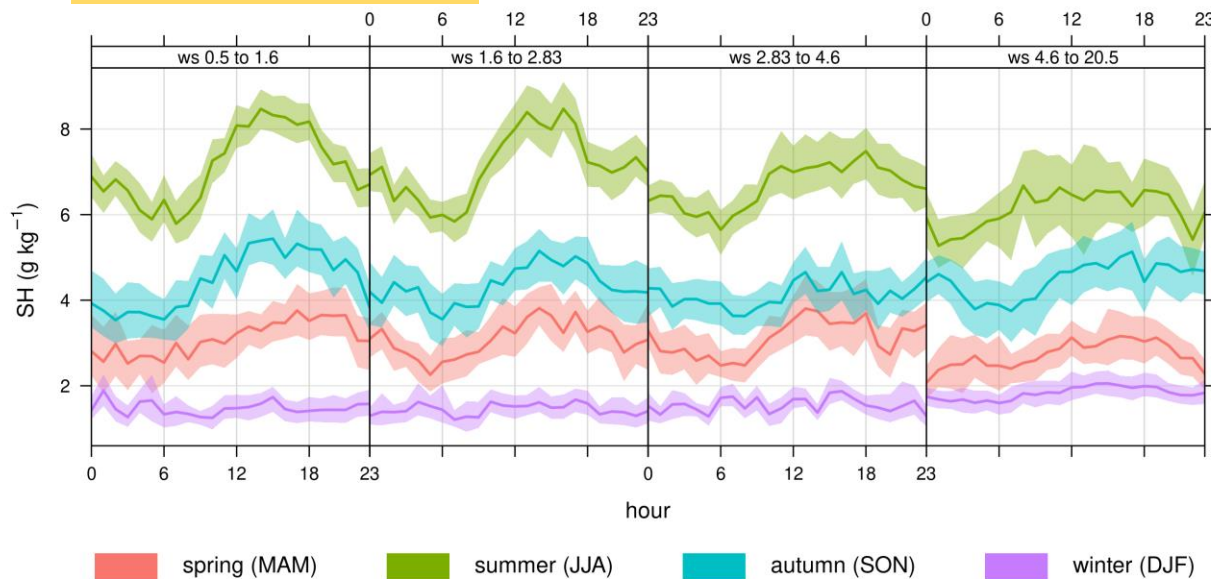


Local scale circulation

Clouds from SE direction



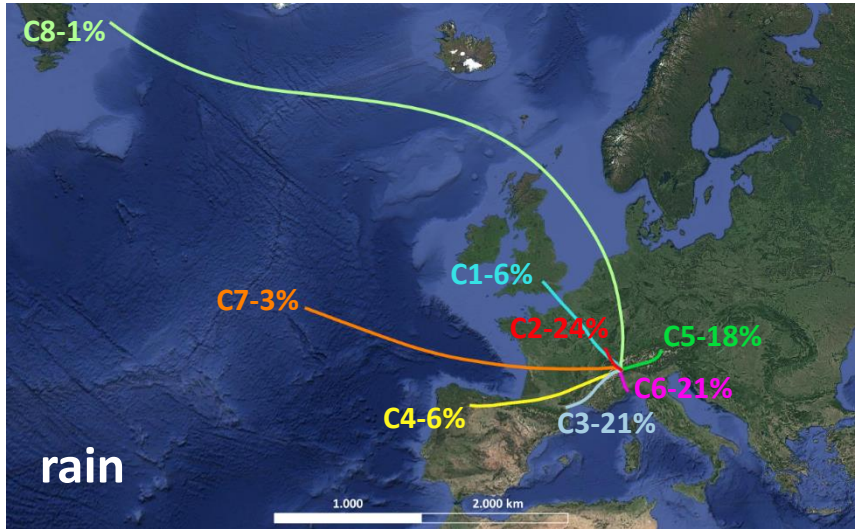
Specific humidity



Results

HYSPLIT model (*Stein et al., 2015*)

619 bwt



rain

Large scale circulation

8 clusters

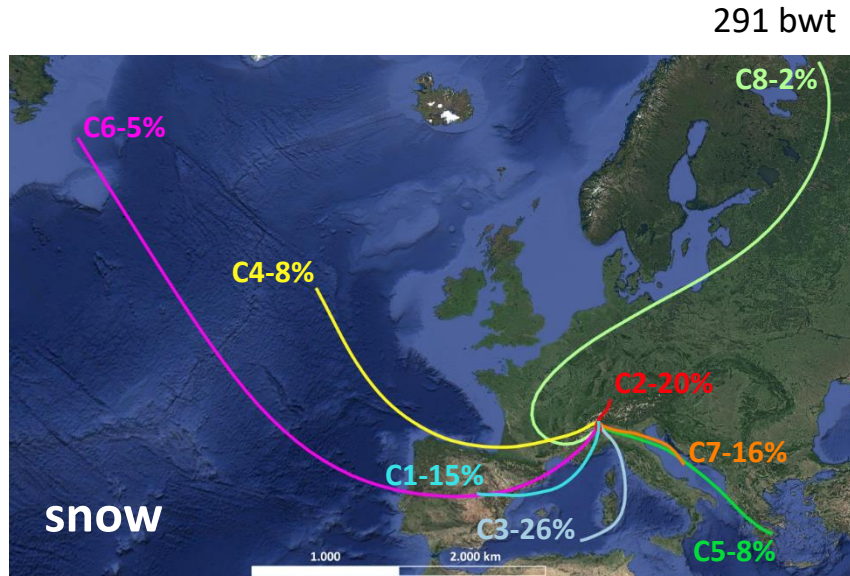
The most frequent are:

C2: regional air masses, 200–300 km, from N **24%**

C6: regional air masses, 200–300 km from S and the Mediterranean Sea **21%**

C3: air masses of ~500 km length from W and SW **21%**

C5: regional air masses, 200–300 km from E (e.g. Po valley) and NE **18%**

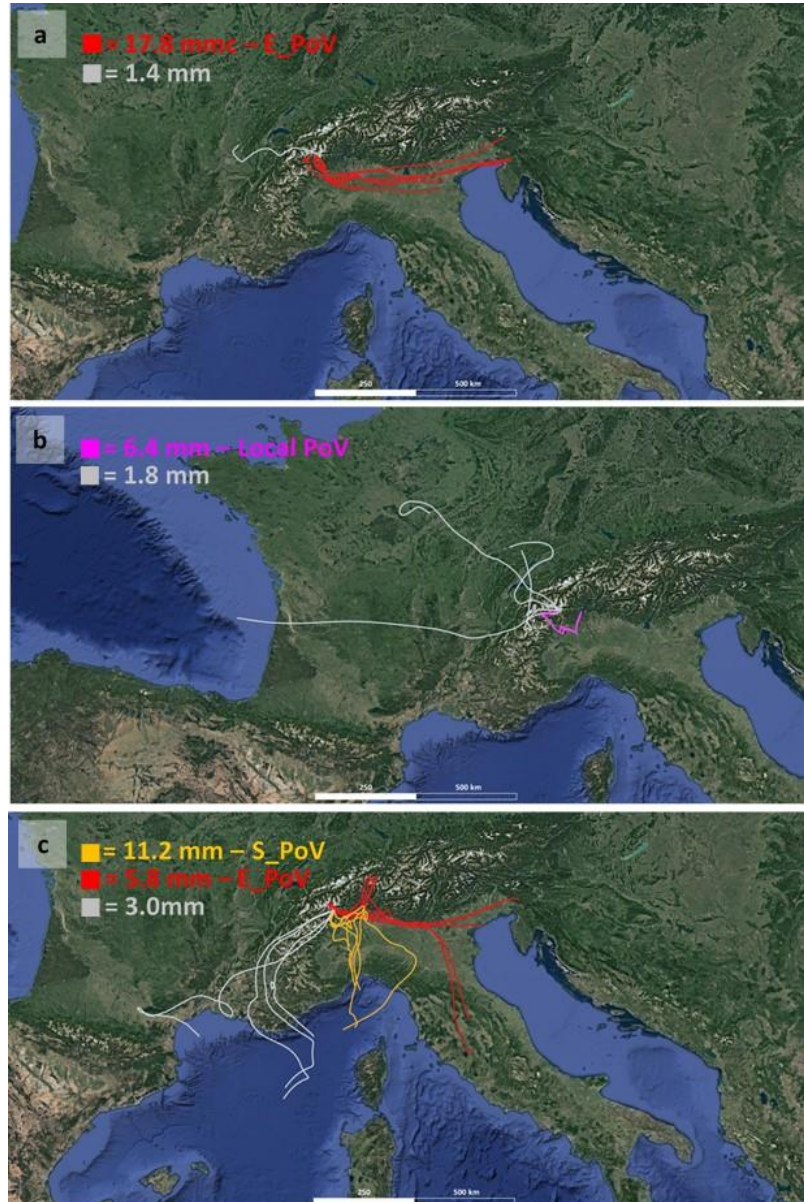


snow

Results



Large scale circulation



E PoV group: air masses from E and crossing the entire Po valley up to 500 km in length.

$11 \pm 3 \%$

Local PoV group: included local air masses, i.e., short BWT of <100 km long

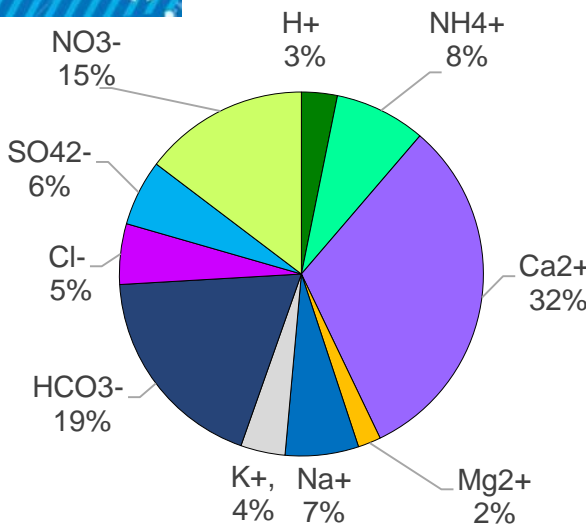
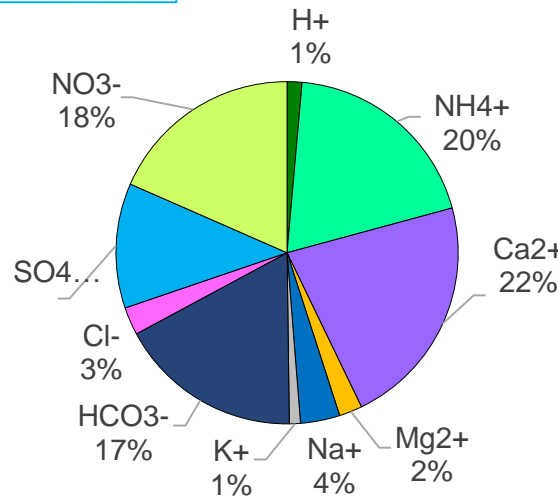
$11 \pm 2 \%$

S PoV group: air masses from S Po valley
 $16 \pm 5 \%$

Total contribution coming from the Po valley:

$38 \pm 3 \%$

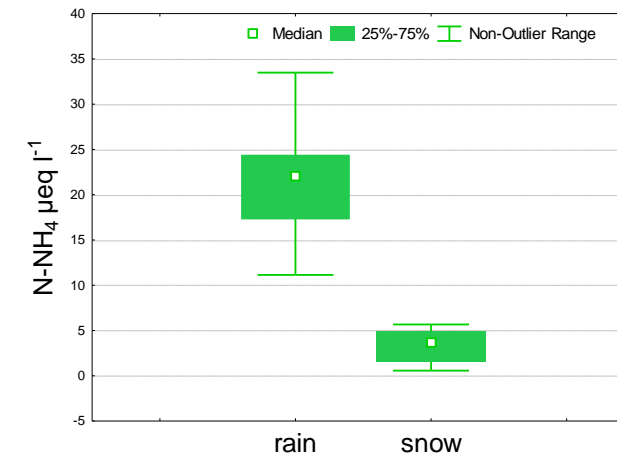
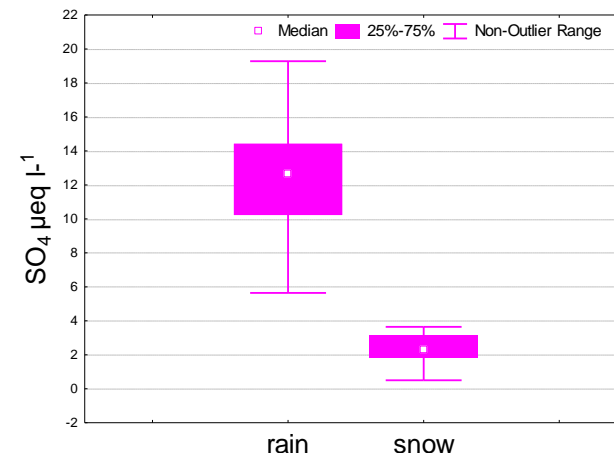
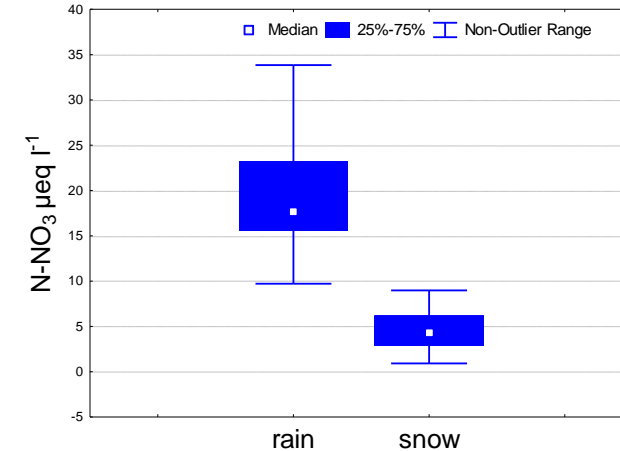
Results: chemistry



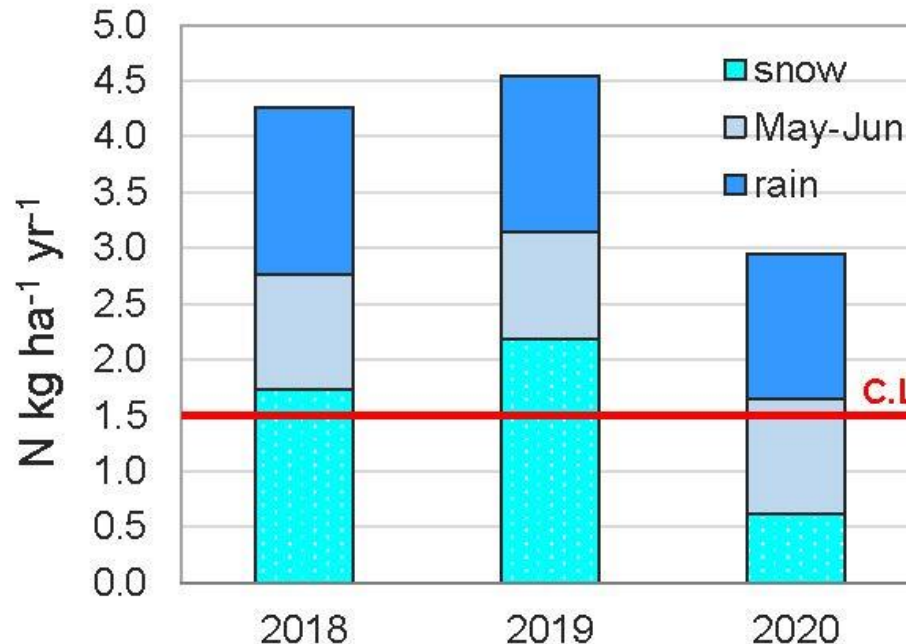
Rain:
 $\text{NH}_4/\text{NO}_3 = 1.2$

Snow:
 $\text{NH}_4/\text{NO}_3 = 0.4$

Chemical composition of rain and snow



Discussion: chemistry



Rain: 39 – 68% for N

The snowpack sampling underestimates the N input from wet deposition

“Critical load” is the amount of deposition of a given pollutant that an ecosystem can receive below which ecological effects are thought not to occur.

1.5 kg ha⁻¹ yr⁻¹

Critical N load for aquatic ecosystems in high-elevation basins with steep slopes, sparse vegetation, and an abundance of exposed bedrock and talus (*Nanus et al., 2012*).

Atmospheric N_{in} Load of N_{in} at
Moso:

3.9 kg ha⁻¹ y⁻¹

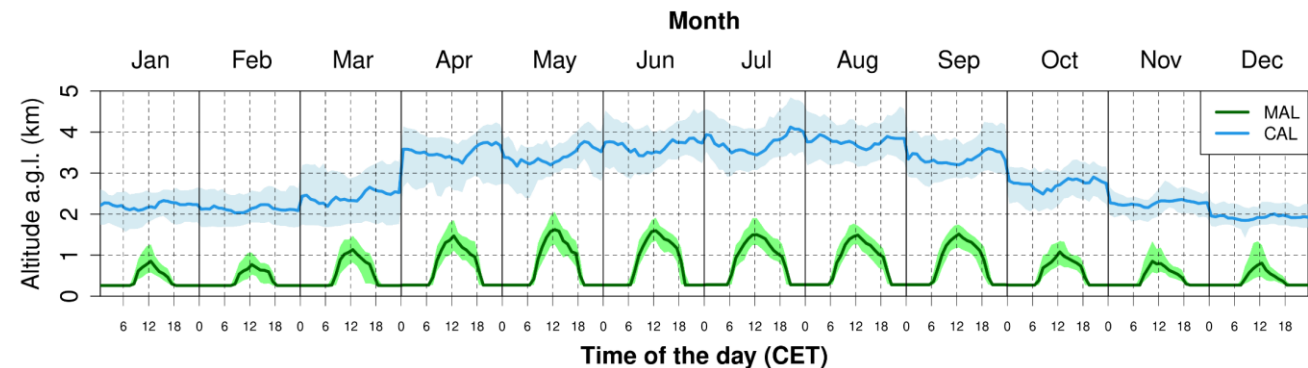
Discussion: chemistry



Seasonal variations of nitrogen concentrations



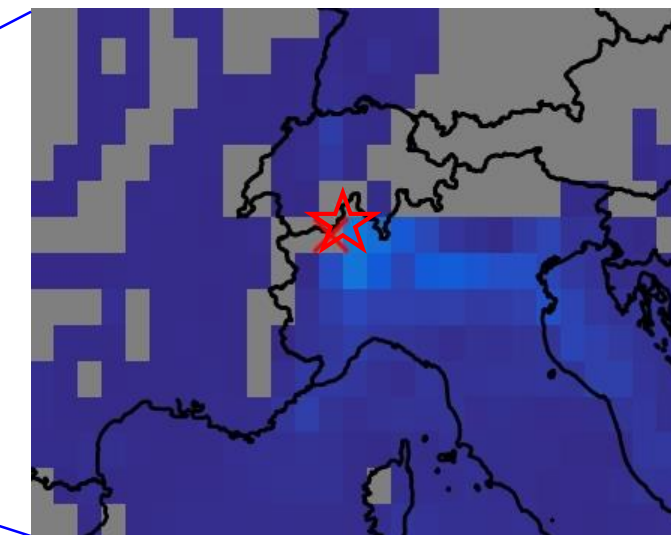
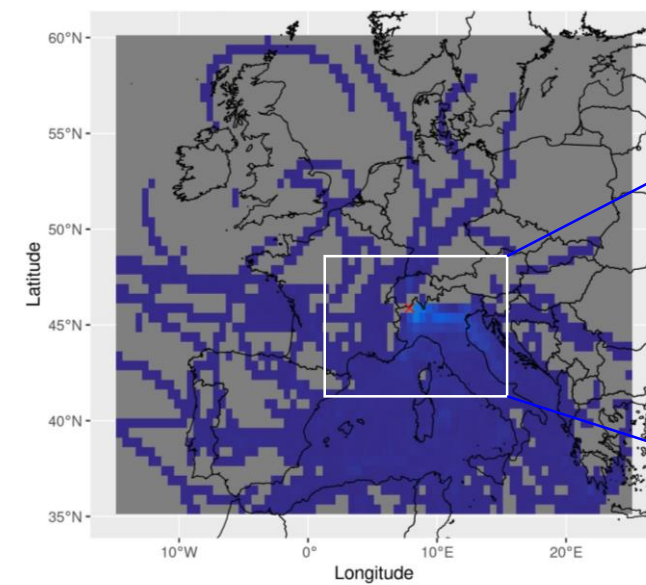
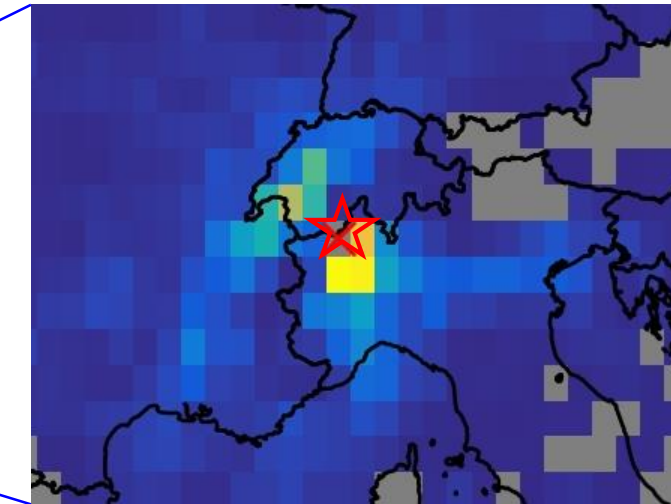
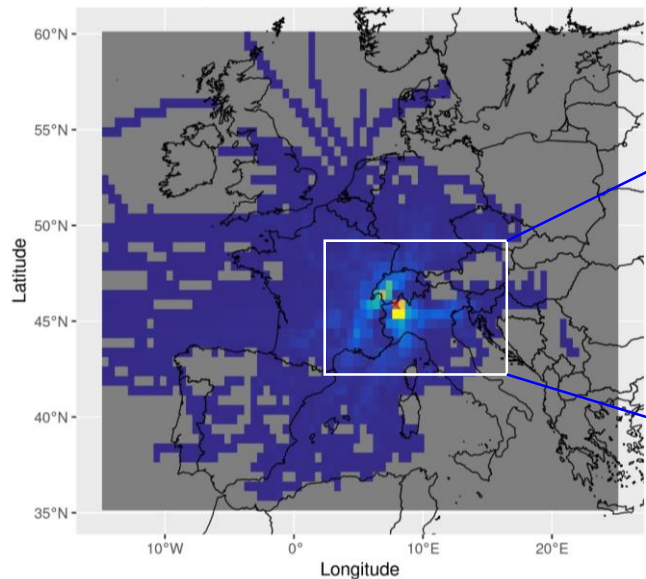
- **Thermal circulation** during summer favours:
 - i) the delivery of emissions from anthropized areas,
 - ii) the developing precipitation that can scavenge and deposit the pollutants
- **The greater height of the aerosol layer** in summer than in winter favours the dispersion and transport of pollutants from long distances.



A. Bellini et al., 2024.

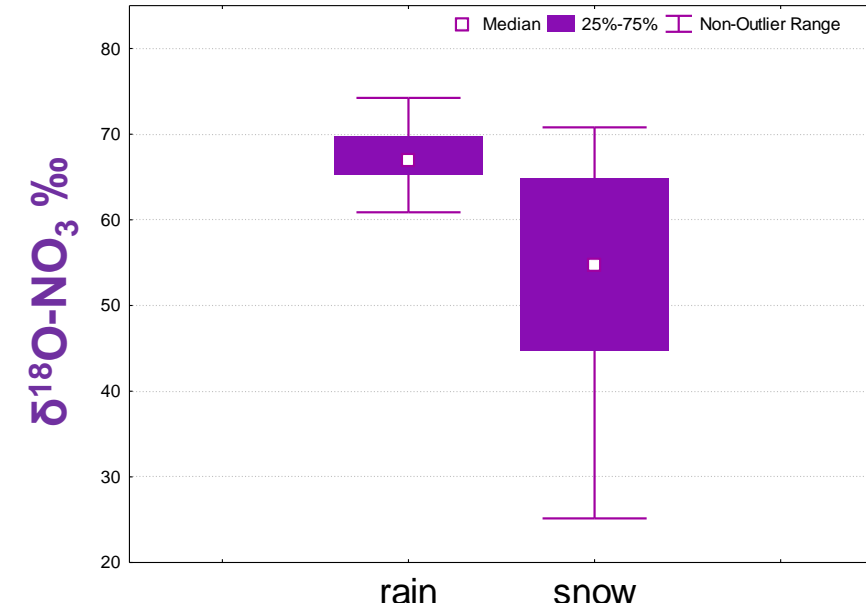
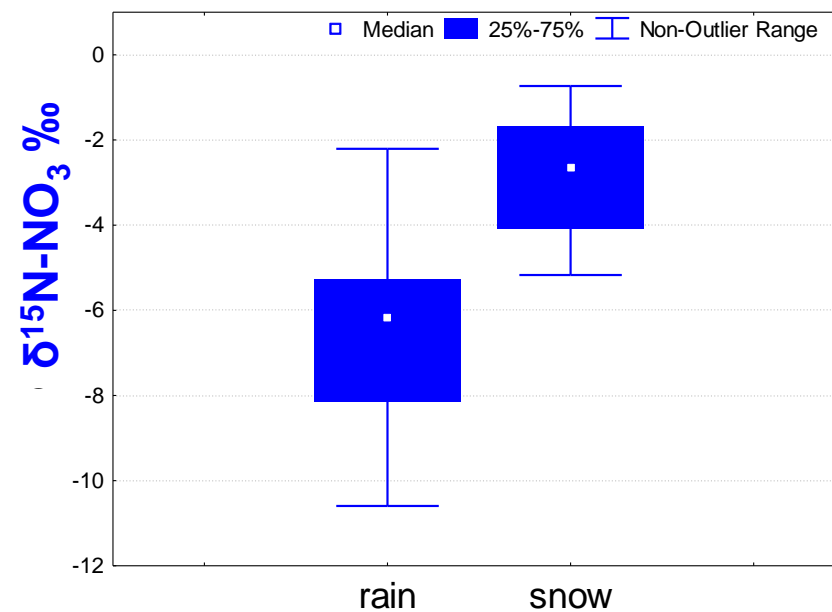
Total time spent in the continuous aerosol layer (CAL) by the calculated trajectories

Discussion



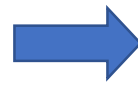
Nitrate molecule isotopes: 15N and 18O

Results: nitrate isotopes



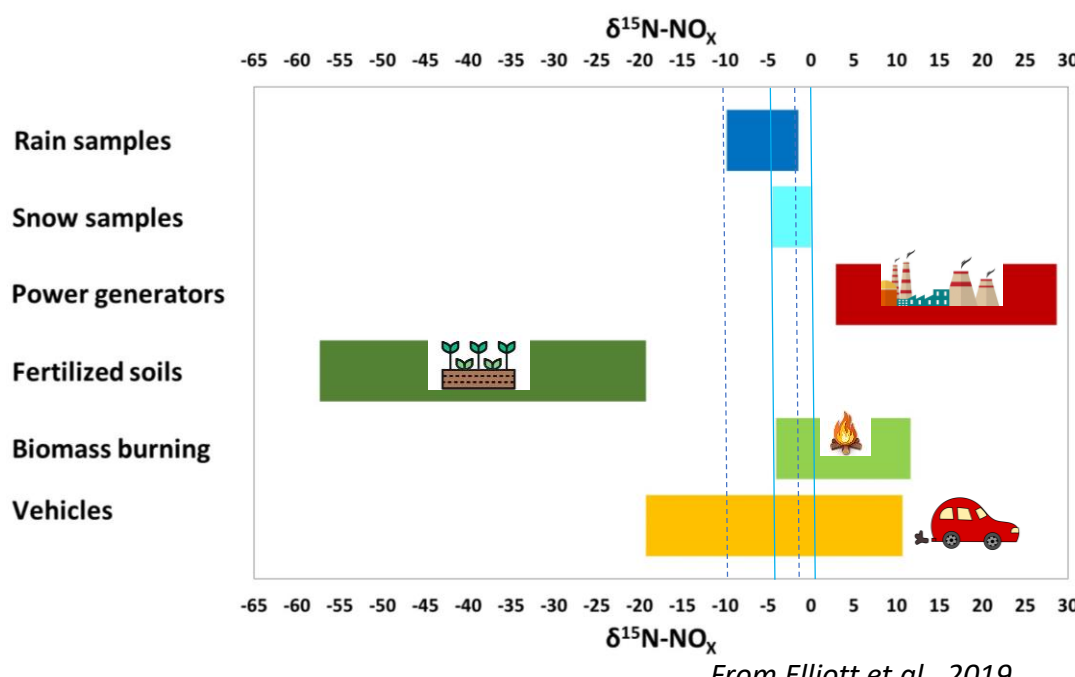
Post-depositional processes in snowpack?

HNO_3 re-evaporation,
photolysis of NO_3^-



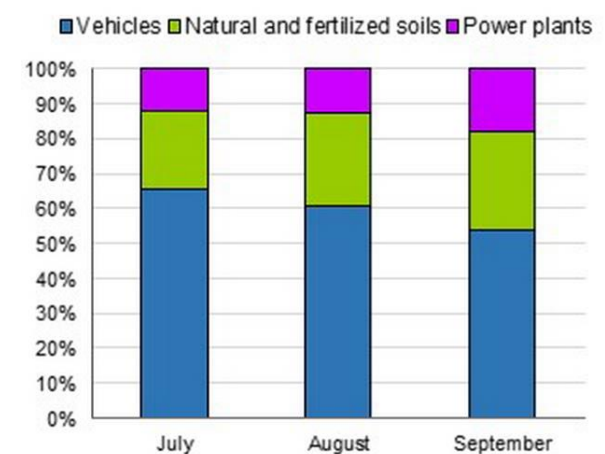
increase in the $15\text{N}/14\text{N}$

$\delta^{15}\text{N-NO}_3\text{\%}$ → NO_x sources

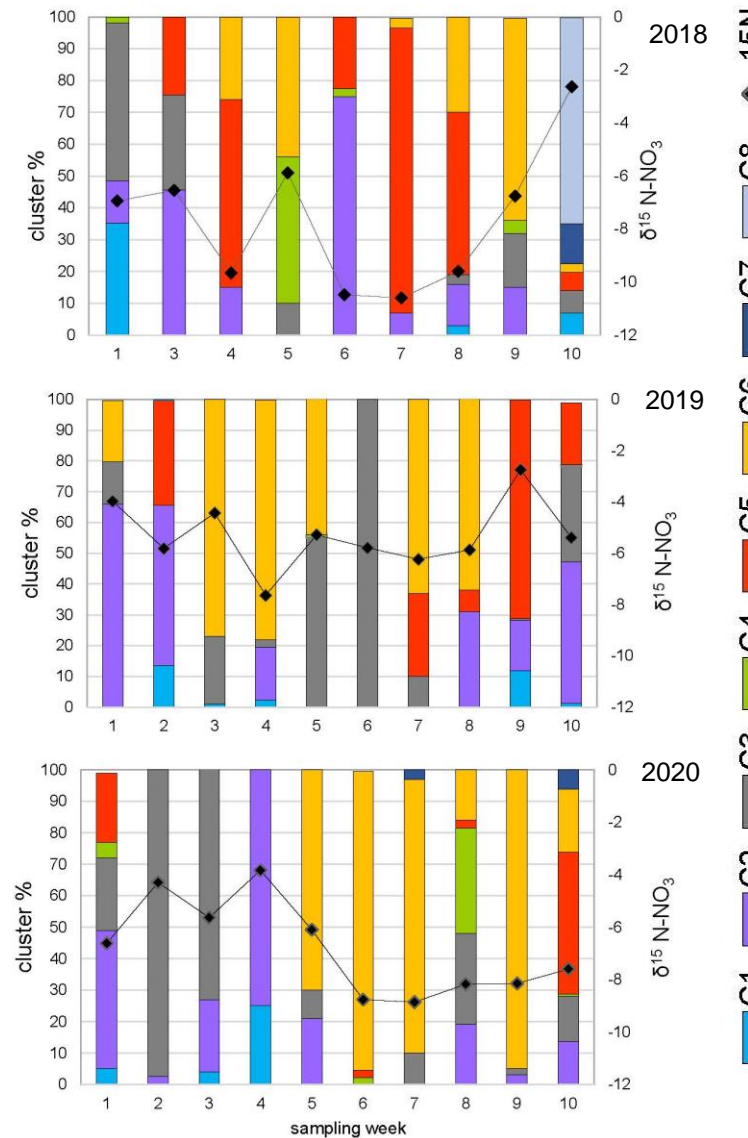


Higher $\delta^{15}\text{N-NO}_x$ → Lower $\delta^{15}\text{N-NO}_x$

Bayesian isotope mixing model



Discussion: nitrate isotopes



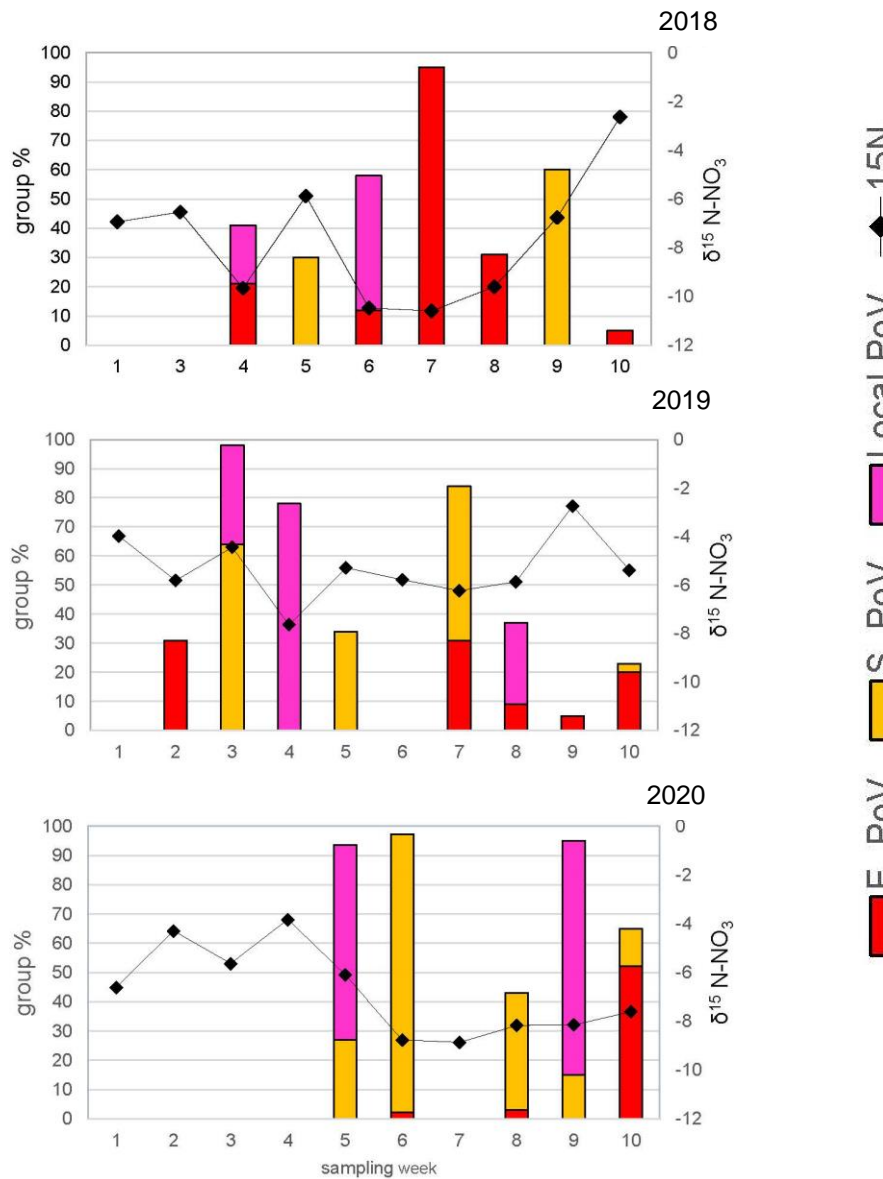
Regional clusters e.g. **C5 (from E and NE)** and **C6 (from S)**

Lower $\delta^{15}\text{N-NOx}$

Long-range clusters eg. C3 and C8

Higher $\delta^{15}\text{N-NOx}$

Discussion: nitrate isotopes



Intermediate $\delta^{15}\text{N-NO}_3$ - 8.8 ‰

Mixture of sources

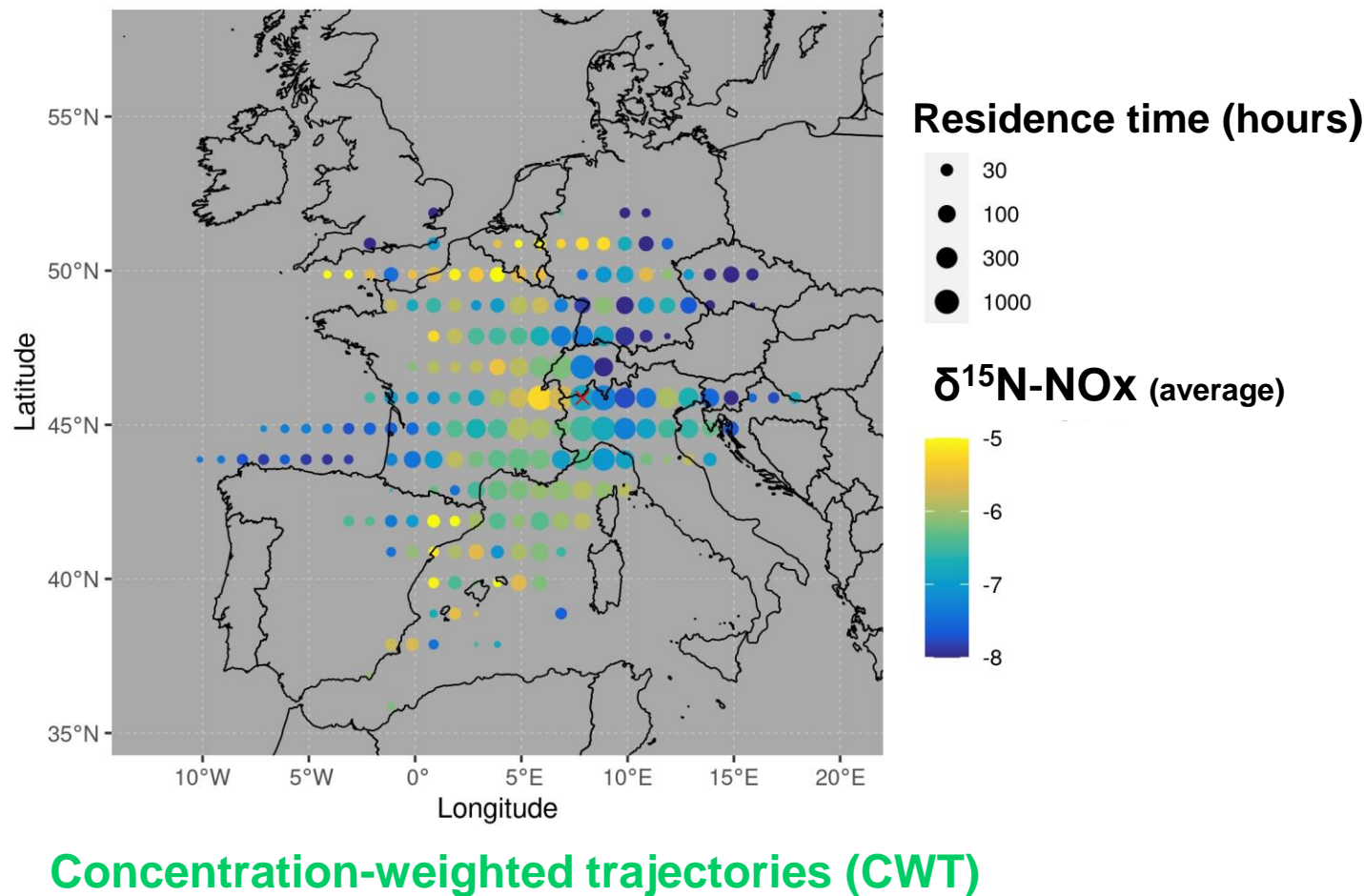
Higher $\delta^{15}\text{N-NO}_3$ - 6.8 ‰

Influence from combustion sources

Lower $\delta^{15}\text{N-NO}_3$ - 10.6 ‰

Agricultural activities and vehicle emissions

Discussion: nitrate isotopes



CONCLUSIONI

- ▶ Data set unico per gli ecosistemi al di sopra della tree-line nello scenario europeo.
- ▶ Sostanziale contributo della componente pioggia per ottenere un quadro completo del ruolo della deposizione atmosferica umida nel ciclo dell'N in ambienti di alta quota:
 - differenze stagionali nelle concentrazioni di molte specie chimiche in primis NO₃ e NH₄
 - stima corretta dei carichi di deposizione di N necessaria per valutare le eccedenze rispetto al carico critico.
- ▶ L'approccio metodologico utilizzato che ha combinato la chimica e le analisi isotopiche con tecniche idrometeorologiche e modellistiche (retro-traiettorie) ha dimostrato che:
 - nella stagione estiva l'area di studio è esposta a inquinanti che si originano da zone antropizzate come la Pianura Padana.
 - Le principali sorgenti di N in estate sono da attribuire alle emissioni derivanti dal traffico veicolare e dall'agricoltura.
- ▶ Le attività di ricerca in programma a breve termine prevedono indagini intensive che consentano campionamenti di pioggia con maggiore frequenza e durante l'inverno la raccolta di neve superficiale da confrontare con i campioni ottenuti con la procedura standard per valutare l'influenza dei processi post-deposizionali.

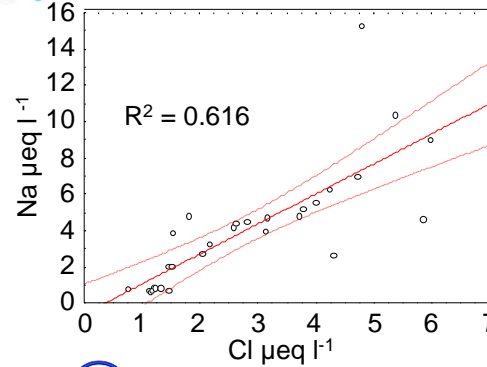
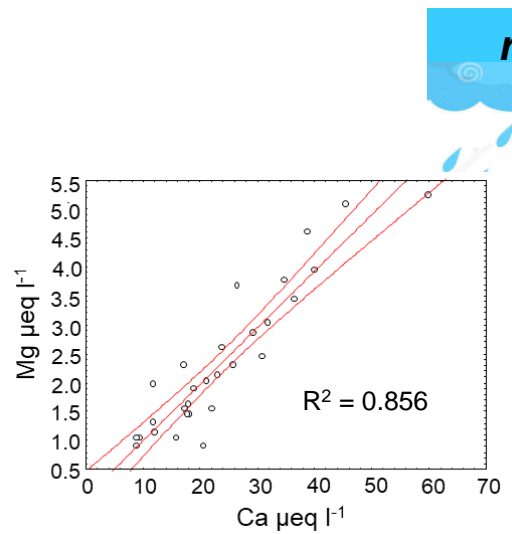
CONCLUSIONI

- ▶ Data set unico per gli ecosistemi al di sopra della tree-line nello scenario europeo.
- ▶ Sostanziale contributo della componente pioggia per ottenere un quadro completo del ruolo della deposizione atmosferica umida nel ciclo dell'N in ambienti di alta quota:
 - differenze stagionali nelle concentrazioni di molte specie chimiche in primis NO₃ e NH₄
 - stima corretta dei carichi di deposizione di N necessaria per valutare le eccedenze rispetto al carico critico.
- ▶ L'approccio metodologico utilizzato che ha combinato la chimica e le analisi isotopiche con tecniche idrometeorologiche e modellistiche (retro-traiettorie) ha dimostrato che:
 - nella stagione estiva l'area di studio è esposta a inquinanti che si originano da zone antropizzate come la Pianura Padana.
 - Le principali sorgenti di N in estate sono da attribuire alle emissioni derivanti dal traffico veicolare e dall'agricoltura.
- ▶ Le attività di ricerca in programma a breve termine prevedono indagini intensive che consentano campionamenti di pioggia con maggiore frequenza e durante l'inverno la raccolta di neve superficiale da confrontare con i campioni ottenuti con la procedura standard per valutare l'influenza dei processi post-deposizionali.

Grazie per l'attenzione!

Discussion: chemistry

Potential sources of ions

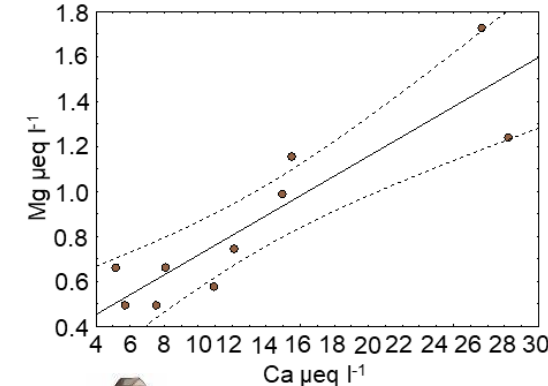


$Na \mu\text{eq l}^{-1}$

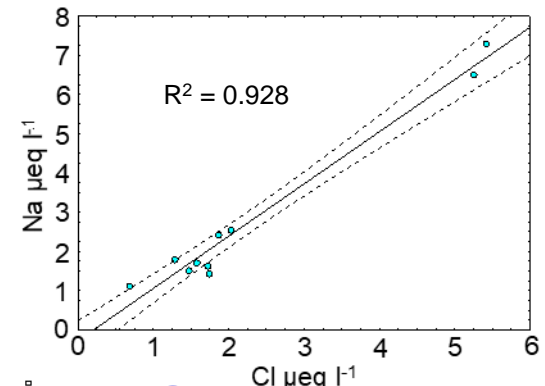
$R^2 = 0.616$



marine aerosols



snow

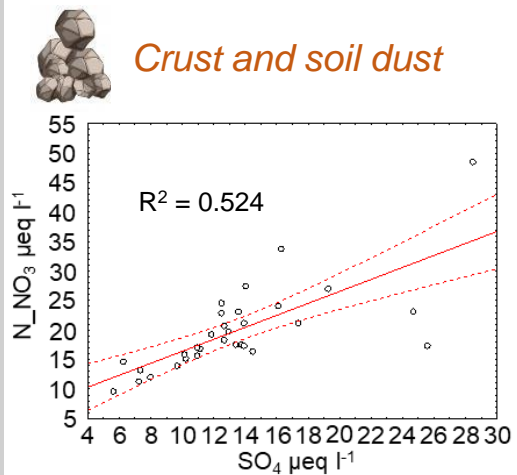


$Na \mu\text{eq l}^{-1}$

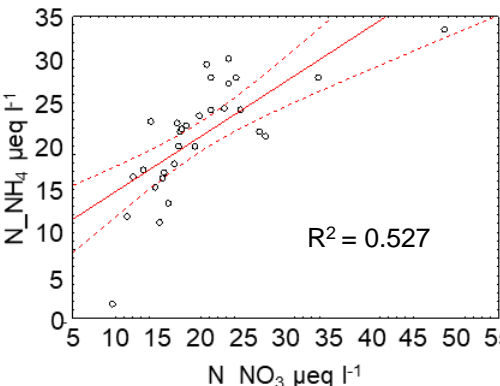
$R^2 = 0.928$



Crust and soil dust



Crust and soil dust



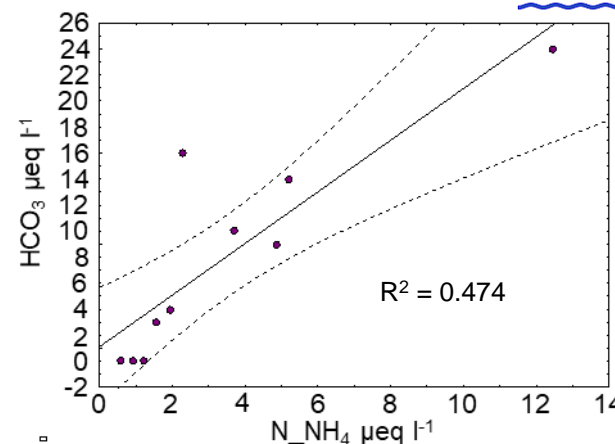
$N_{NO_3} \mu\text{eq l}^{-1}$

$R^2 = 0.527$

$N_{NH_4} \mu\text{eq l}^{-1}$



Anthropogenic source e.g. fossil fuels



$R^2 = 0.474$

Nitrate molecule isotopes: ^{15}N and ^{18}O

Results: isotopes

Ranges

$\delta^{15}\text{N}_{\text{‰}}$ NO_3^-
Rain (n = 25)

-10.6 to -2.2‰

Snow (n = 9)

-0.7 to -5.2‰

$\delta^{18}\text{O}_{\text{‰}}$ NO_3^-
Rain (n = 9)

+52.7 to +74.2 ‰

Snow (n = 9)

+25.2 to + 76.7‰

Post-depositional processes in snowpack?

HNO_3 re-evaporation

photolysis of NO_3



increase in the $^{15}\text{N}/^{14}\text{N}$

